

АКАДЕМІЯ НАУК УКРАЇНИ
ІНСТИТУТ ПРОБЛЕМ МАТЕРІАЛОЗНАВСТВА Ім. І.М. ФРАНЦЕВИЧА

На правах рукопису

ГЕРМАН ЛЮДМИЛА ПАВЛІВНА

РОЗПОДІЛ ЕЛЕМЕНТІВ ЗА ФАЗАМИ ТА СТАНАМИ В СИСТЕМАХ
"КОНДЕНСОВАНА МЕТАЛЕВА ПЛІВКА-КРИСТАЛІЧНА ПІДКЛАДКА"

Спеціальність 01.04.07 – Фізика твердого тіла

Автореферат дисертації на здобуття вченого
ступеня доктора фізико-математичних наук

КИЇВ 1993



АВ 27.531

Робота виконана на кафедрі загальної фізики та
фізики твердого тіла Київського політехнічного інституту

Науковий консультант: доктор технічних наук,
професор БІЛОУС М.В.

Офіційні опоненти: член-кореспондент АН України,
доктор фізико-математичних
наук, професор ЧЕРЕПІН В.Т.

доктор технічних наук,
професор ПОПОВ В.І.

доктор фізико-математичних
наук, професор ПРОЦЕНКО І.Ю.


Провідна організація: ХАРКІВСЬКИЙ ПОЛІТЕХНІЧНИЙ
ІНСТИТУТ

Захист відбудеться "27" 04 1993 р. о 10⁰⁰ годині на
засіданні спеціалізованої Ради Д.016.23.01 при Інституті
проблем матеріалознавства ім. І.М. Францевича АН України
за адресою: 252180, м. Київ, вул. Кржижанівського, 3

З дисертацією можна ознайомитись в бібліотеці Інституту
проблем матеріалознавства ім. І.М. Францевича АН України

Автореферат розіслано "25" 03 1993 р.

Вчений секретар
спеціалізованої Ради
кандидат технічних
наук

 — ПАДЕРНО Ю.Б.

ЗАГАЛЬНА ХАРАКТЕРИСТИКА РОБОТИ

Актуальність проблеми

Розвиток наукового та аналітичного приладобудування, мікроелектроніки, радіотехніки, технології виготовлення електронно-обчислювальної апаратури та інших областей сучасної техніки потребують безперервного удосконалення вже існуючих промислових способів виробництва тонкоплівкових елементів з наперед заданими властивостями. Прогрес у цьому напрямку неможливий без детального аналізу фізико-хімічних процесів, що протікають у вакуумних конденсатах за їх одержання та термічної обробки та обумовлених характером взаємодії матеріалу напильної плівки з кристалічною підкладкою.

З точки зору сучасних тенденцій розвитку технології мікроелектроніки, надзвичайно перспективним є використання в тонкоплівкових структурах вакуумних конденсатів тугоплавких металів. Звичайно, кінцеві властивості таких структур зумовлені розподілом елементів за фазами та станами в об'ємі тонкоплівкового вакуумного конденсату та процесами, що протікають на межі розділу плівка-підкладка, тобто в перехідному шарі.

Дослідження вакуумних конденсатів тугоплавких металів та структур "тугоплавка плівка-кристалічна підкладка" повинні дозволити визначити фактори, що чинять рішучу дію на фізичні та технологічні властивості тонкоплівкових елементів, їх температурну та часову стабільність.

Технологічні труднощі отримання вакуумних конденсатів тугоплавких металів призвели до того, що до моменту початку досліджень, покладених в основу даної роботи, відомості про процеси фазоутворення в тонких плівках найбільш перспективних з точки зору тонкоплівкової технології тугоплавких металів були обмежені та носили епізодичний характер. Тому в

даній роботі було розпочато систематичне вивчення розподілу елементів за фазами та станами в системах "вакуумний конденсат тугоплавкого металу-кристалічна підкладка"; при цьому була зроблена спроба інтерпретувати експериментально встановлені закономірності на основі аналізу електронної будови комплексних фаз.

Методи дослідження

Тонкоплівкові конденсати V , Cr , Ni , Mo та W отримували резистивним, електронно-променевим, термоіонним та магнетронним методами нанесення на підкладки з монокристалу $NaCl$, монокристалу кременію КЦФ 4,5 <III>, монокристалу карбиду кременію 6H-SiC з концентрацією некомпенсованих донорів $3-5/10^{18} \text{ см}^{-3}$, кварц, слою, сегнетоп'єзокераміку ЦТ-19, ситал СТ-50-1 в умовах промислового вакууму /установки УВН-2М-1, ВУ-1БС-2, УРМ-027013/.

Аналіз залишкових газів під час наплення та термічної обробки проводили за допомогою мас-спектрометра РОС-2. Для вивчення структури та фазового складу конденсатів застосовували стандартні методики рентгеноструктурного та електроннографічного аналізу /ДРОН-2М, УРС-2.0, ЕМР-100, ЕМР-100М/. Використовували також електронну та растрову мікроскопію. Елементний склад та хімічний стан, дифузійні процеси та процеси силіцидоутворення, окислювотворення та карбідоутворення досліджували за допомогою яче-електронної спектроскопії /ОУ-10С-10-000, УАМР-10/, вторинної іонної мас-спектрометрії /МС-7201/, рентгенофотоелектронної спектроскопії. Виміри електричного опору проводили за стандартною чотирьохзондовою методикою. Для інтерпретації результатів, отриманих дослідженням розподілу елементів за фазами та станами був виконаний аналіз на основі чапівемпіричного методу кластерного розрахунку, модифікованого частковим нехтуванням диференцій-

ним перекриттям,

Мета роботи

- Дослідження впливу конденсованого металду та умов нанесення моно- та біметалевих плівок на склад конденсатів, стан атомів на поверхні металевої плівки, розподіл елементів за глибиною та формування перехідного шару "плівка-підкладка".

Для досягнення поставленої мети необхідно було вирішити такі задачі:

- і провести порівняльне дослідження конденсатів тугоплавких металів, отриманих резистивним, електрошно-променевим, термоіонним та магнетронним методами нанесення, виявити основні особливості їх кристалічної будови, фізичні властивості та технологічні характеристики;

- дослідити елементний склад конденсатів та хімічний стан атомів тугоплавких металів в плівках, отриманих різними методами нанесення;

- встановити закономірності розподілу кисню, вуглецю та азоту на поверхні конденсатів, в приповерхневому шарі, та в об'ємі плівки, та в перехідному шарі "плівка-підкладка";

- проаналізувати закономірності концентраційних змін в киснескладових вакуумних конденсатах на основі сучасних уявлень про електронну будову кисневих сполук;

- дослідити процеси, що проходять за віддалу конденсатів тугоплавких металів, отриманих різними способами вакуумного нанесення в умовах промислового вакууму;

- встановити діапазони припустимих значень параметрів вакуумного нанесення, за яких формуються плівки тугоплавких металів з необхідною структурою та властивостями та розробити на цій основі рекомендації по технології отримання конкретних тонкоплівкових структур.

Наукова новизна дисертації полягає в наступному:

В роботі вперше проведено систематичне дослідження розподілу елементів за фазами та станами в системах "вакуумний конденсат тугоплавкого металу-кристалічна підкладка". Встановлено загальні закономірності утворення декількох характерних зон /за глибиною нанесеного шару/ в таких системах. Досліджено особливості фазового складу, зеренної та кристалічної структури вакуумних конденсатів тугоплавких металів /хрому, молибдену, вольфраму та ванадію, а також сплавів системи нікель-хром, отриманих термоіонним, електронно-променевим, резистивним та магнетронним методами нанесення, досліджено характер розподілу кисню, вуглецю та азоту на поверхні конденсатів в приповерхневому шарі, в об'ємі плівки та в перехідному шарі "плівка-підкладка".

Вивчено процеси, що проходять в різних інтервалах температур в вакуумних конденсатах тугоплавких металів за відпалу в промисловому вакуумі. Встановлено, що при цьому мають місце окисно-відновлювальні реакції, напрям яких визначено термодинамікою утворення окисних сполук відповідних елементів.

На основі напівемпіричного методу кластерного розрахунку виконаний аналіз можливих причин змін концентрації кисню за відпалу та дано пояснення деяким особливостям ожеспектрів перехідних металів в тонких плівках.

Практичне значення роботи

Створені фізичні основи технології отримання плівок тугоплавких металів на кристалічних підкладках з використанням різних методів нанесення.

Встановлено діапазон допустимих параметрів нанесення, за яких формуються конденсати молибдену, хрому, ніхрому,

вольфраму та ванадію з об'ємним опором, близьким до опору масивного матеріалу. Сформульовані умови, які забезпечують за обраної технології отримання плівок, необхідну адгезію до різних кристалічних підкладок, стабільність електрофізичних властивостей, стійкість проти окислення та карбідотворення, достатню швидкість хімічного травлення.

На основі досліджень елементного складу, хімічного стану, фазового складу, структури та фізичних властивостей моно- та біметалевих вакуумних конденсатів та межі розділу "вакуумний конденсат тугоплавкого металу-напівпровідник" розроблені технології отримання та термічної обробки ряду виробів та елементів, таких як металеві електроди сегнетоп"свопапам"ятовуючих елементів, датчиків тиску вибухової хвилі, датчиків швидкості повітряних та рідинних потоків, металевих електродів твердотільних мікроосхем на кремнії та ін.

Твердження, які виносяться на захист

1. Загальною закономірністю формування плівок тугоплавких металів на кристалічних підкладках є створення в кожній із цих систем трьох основних зон: поверхня та приповерхневий шар конденсату, збагачені в порівнянні з об'ємом плівки киснем та вуглецем; власне конденсат металу; перехідний шар між металом та матеріалом підкладки.

2. Вакуумний відпал конденсатів тугоплавких металів на кристалічних підкладках спричинює розвиток дифузійних процесів, в результаті чого проходить формування фаз, що відповідають відповідним діаграмам станів, окисних фаз та кластерних утворень, що містять кисень та інші домішки.

3. Зміна концентрації кисню в тонких плівках перехідних металів за вакуумного відпалу зумовлена відмінністю енергії зв'язку $M-O$ в ряду металів V, Cr, Ni, Mo та W і відповідним нерозподілом кисню між окислами та сегрегаціями на поверхнях розділу.

4. Використання різних варіантів модифікованих вакуумних технологій дозволє отримувати тонкі плівки перехідних металів з великою корозійною стійкістю та іншими необхідними характеристиками, які використовуються для тонкоплівкових елементів різного функціонального призначення та систем високонадійної металізації.

Апробація роботи

Основні результати дисертації доповідались та обговорювались на таких міжнародних та республіканських конференціях та нарадах: II міжгалузева конференція "Тонкі плівки в інтегральних схемах та іонні методи створення плівкових структур" /Київ, 1976/, Всесоюзний семінар "Отримання та властивості плівкових структур" /Київ, 1977, 1979/, Всесоюзний семінар "Отримання, дослідження та застосування тонких плівок в обчислювальній техніці" /Київ, 1977, 1979/, IV міжгалузева конференція "Тонкі плівки у виробництві напівпровідникових приладів та інтегральних схем" /Тбілісі, 1981/, республіканський семінар з фізики та технології тонких плівок /Івано-Франківськ, 1982/, Всесоюзний семінар "Індукційні трансформатори, надійність мікроелектронних схем та елементів" /Київ, 1983/, II Всесоюзна конференція "Структура та електронні властивості меж зерен в металах та напівпровідниках" /Воронеж, 1987/, Всесоюзна нарада "Електронна будова та властивості окисів, фторидів та халькогенідів d та f елементів" /Одеса, 1987/, Всесоюзна нарада-семінар "Діагностика поверхні за допомогою іонних пучків" /Донецьк, 1988/, Всесоюзна конференція з фізики та технології тонких плівок /Київ, 1988/, IX науково-технічна нарада "Матеріали та нові технологічні процеси в мікроелектроніці" /Дрогобич, 1988/, Всесоюзна нарада-семінар "Діагностика поверхні іонними пучками" /Одеса, 1990/, VIII Всесоюзна конференція з фізики

низькотемпературної плазми /Мінськ, 1991/, "Всесоюзна науково-технічна нарада "Нові матеріали для мікроелектроніки" /Канів, 1983, Одеса, 1987, Кацівелі, 1991, Юрмала, 1992/, Всеоюзна нарада-"Хром-91" /Київ, 1991/.

Tenth Symposium Record of Alloy Semiconductor Physics and Electronics (ASPECS-10) (Japan, July 18-19, 1991), Proceedings of 4th European Conference on Applications of Surface and Applications of Surface and Interface Analysis (EGASIA 91) Budapest (October 14-18, 1991).

а також на інших нарадах та конференціях.

Апробація роботи проводилась в наступних установах та організаціях: завод "Аврора" /Волгоград/, Арзамаське приладобудівне об'єднання /Арзамас/, СКТЕ Інституту геофізики АН України /Київ/, НВО Термоприлад /Львів/, СКТЕ ІНІС Інституту кібернетики АН України та ін.

Публікація результатів досліджень

Основні матеріали дисертації вміщені в 35 роботах, в тому числі 3 авторських свідоцтвах. Список основних робіт наведено в кінці автореферату.

Об'єм роботи

Дисертація складається із вступу, п'яти розділів та закінчення. Робота викладена на 229 сторінках машинописного тексту, вміщує 44 малюнки, 24 таблиці. Список літератури складається із 219 найменувань.

Зміст роботи

У вступі - подано коротку характеристику роботи, сформульовано мету роботи, актуальність, наукову новизну, пра-

тичну цінність роботи, перелічено основні твердження що вносяться на захист.

В першому розділі описані результати досліджень елементного складу конденсатів та розглянуті особливості хімічного стану ванадію в системах "моно- та біметалева плівка-кристалічна підкладка". Встановлено, що критерієм ступеня окислення ванадію, може служити відношення інтенсивностей оже-піків $R = I_{\text{VNi}} / I_{\text{VNi}}$, що змінюється при окисленні. Для ванадію $R < 1$, а для окисленого ванадію $R > 1$. Встановлені температурно-концентраційні умови утворення різних модифікацій окисних шарів при застосуванні магнетронного реактивного нанесення ванадію в киснево-аргонних сумішах з різним вмістом кисню: при 30% кисню та при температурі підкладки 773 К формується окис ванадію VO_2 ; при 40% кисню та при температурі підкладки 673 К формується окис V_2O_5 ; при 10% кисню та температурі підкладки 573 К формуються безструктурні шари. Показано, що в конденсатах ванадію, зформованих в умовах промислового вакууму існує три області: I - поверхня та приповерхневий шар, який складається із суміші окисів, гідроокисів та вуглецю; II - плівка ванадію з рівномірно розподіленими за товщею вуглецем та CN-сполуками; III - перехідний шар плівка-підкладка, який вміщує крім ванадію, вуглець, кисень, OH та CN-групи. Встановлено, що відпал конденсатів ванадію при температурі 873 К призводить до формування карбідної фази на поверхні плівки, а в перехідному шарі - формуванню гідроокисидів ванадію. Показано, що гідроокиси ванадію є дифузійним бар'єром для проникнення C та CN-сполук в середні шари конденсату ванадію. Досліджено елементний склад та хімічний стан межі розділу ванадій-карбід кремнію. Показано, що при температурі 873 К існує чотири області: поверхня та приповерхневий шар плівки, збагачені киснем та вуглецем; плівка ванадію; перехідний шар між конденсатом ванадію та карбідом кремнію та підклад-

ка монокристалу карбіду кремнію. Відпал при температурі 1273 К та вище призводить до формування перехідного шару, який складається із суміші силіцидів V_2Si_2 , V_2Si_3 та V_3Si . За цих умов карбіди ванадію не спостерігаються. На основі розгляду властивостей двошарових тонкоплівкових композицій та термодинамічного аналізу можливі хімічних реакцій були вибрані матеріали для електродів на сегнетопізокераміці: в ролі основного провідного шару – алюміній, а в ролі підшару до нього – плівки ванадію. Досліджена кристалічна структура, фазовий склад та розподіл елементів по товщині двошарових конденсатів ванадій-алюміній. Показано, що фазовий склад не змінюється за нагріву до 520 К; інтенсивне окислення алюмінію та формування твердого розчину ванадію в алюмінії відбувається, починаючи з 770 К.

Другий розділ присвячено описові експериментальних даних, що отримані за дослідження структури та фізичних властивостей вакуумних конденсатів молібдену, нанесених різними методами. Було докладно розглянуто елементний та фазовий склад плівок молібдену. Отримані такі основні результати:

- вакуумні конденсати молібдену, отримані термоіонним методом характеризуються наявністю текстури. Підвищення температури підкладки призводить до підсилення текстури.

Відпал конденсатів молібдену в промисловому вакуумі не супроводжується їх окисленням;

- за термоіонного напылення плівок молібдену адгезія збільшується в 3-6 раз в порівнянні з електронно-променевим нанесенням;

- встановлено діапазон припустимих значень параметрів нанесення за яких формуються конденсати молібдену з об'ємним опором, близьким до опору масивного матеріалу для даної конструкції напылювального пристрою: $T_{під} = 470-770$ К та $I_{зм} = (-1) - (-3)$ кА. Зі збільшенням товщини конденсату, швидкості нанесення, густини іонного струму і поліпшенням вакууму

критичні значення T_{pid} та $I_{ам}$ зменшуються;

- досліджено елементний склад та хімічний стан плівок молибдену, отриманих електронно-променевиим напиленням. Встановлено характер розподілу концентрацій кисню, вуглецю та азоту на поверхні та в об'ємі плівки. Максимальна концентрація вуглецю та кисню спостерігається на поверхні конденсату молибдену. В приповерхневому шарі концентрація вуглецю та кисню зменшується в порівнянні з концентрацією на поверхні плівок. Відпал зменшує концентрацію молибдену на поверхні плівок молибдену. Концентрація азоту на поверхні та в об'ємі плівки, як після нанесення, так і після відпалу залишається незмінною;

- в конденсатах молибдену, отриманих електронно-променевиим нанесенням, на поверхні присутні адсорбований кисень та вуглець /в формі графіту/; окиси молибдену не спостерігались. В об'ємі плівки молибдену вуглець знаходиться в карбідній фазі;

- досліджена межа розділу плівка молибдену-кремній «II» та система "плівка молибдену-карбід кремнію (6H-3C)". Показано, що в цих системах за температур 1073 K існує чотири зони: 1/ поверхня та приповерхневий шар конденсату, що збагачені в порівнянні з об'ємом плівки киснем та вуглецем; 2/ власне конденсат молибдену; 3/ перехідний шар між плівкою молибдену та кремнієм, або карбідом кремнію; 4/ підкладка /кремній або карбід кремнію/. Відпал молибдену на кремнії та карбіді кремнію в умовах промислового вакууму за температур 673, 873 та 1073 K призводить до розвитку дифузійних процесів. Формування силіцидних та карбідних фаз не має місця. Дифузійні процеси в системі "плівка молибдену-кремній" протікають більш інтенсивно та за значно нижчих температур, ніж в системі "плівка молибдену-карбід кремнію".

В третьому розділі описані закономірності фазоутворення в плівках вольфраму на моно- та полікристалічних підкладках;

значну увагу приділено розподілу в плівках вольфраму, кремнію, вуглецю та інших елементів. Досліджено елементний склад та хімічний стан конденсатів вольфраму, отриманих електронно-променевим, термоіонним та магнетронним методами нанесення. Встановлено характер розподілу концентрацій кисню, вуглецю та азоту на поверхні та в об'ємі конденсатів вольфраму. Максимальна концентрація кисню спостерігалась на поверхні плівок вольфраму, отриманих магнетронним розпиленням; максимальна концентрація вуглецю - на поверхні конденсатів, нанесених з використанням електронно-променевого напилення. В приповерхневому шарі концентрація кисню та вуглецю зменшується в 3-10 раз в порівнянні з концентрацією на поверхні конденсатів вольфраму. Віддал зменшує концентрації кисню та вуглецю на поверхні конденсатів вольфраму. Концентрація азоту на поверхні та в приповерхневому шарі плівок вольфраму після нанесення та вакуумних відпалів не змінюється. Показано, що зі збільшенням концентрації кисню, виростає амплітуда оже-піку з енергією 163 еВ та зменшується амплітуда оже-піку вольфраму з енергією 169 еВ; зменшується відношення амплітуд оже-піків $I_{(163)}/I_{(510)}$ та $I_{(169)}/I_{(510)}$. Встановлено, що в конденсатах вольфраму, отриманих в умовах промислового вакууму існує три характерні області: I/ поверхня та приповерхневий шар, який складається із суміші окисних та карбідних фаз, а також адсорбованого вуглецю та кисню; II/ - власне плівка вольфраму з рівномірно розподілених по товщині вуглецем, киснем та CN-сполуками; III/ - перехідний шар плівка-підкладка, який вміщує крім вольфраму, гідрокарбонати вольфраму та CN-сполуки. Порівняльне дослідження конденсатів вольфраму, нанесених термоіонним, електронно-променевим та магнетронним нанесенням, показало, що найбільш стабільні властивості мають плівки, отримані методом термоіонного напилення. Конденсати вольфраму, отримані термоіонним методом, більш стійкі до окислення та карбідоутворення, ніж плівки, отримані електронно-променевим та магнетронним нанесенням. Встанов-

лено, що кисень на поверхні конденсатів присутній як в адсорбованому стані, так і в складі окисних сполук. При відпалі проходять окисно-відновлювальні реакції, за цих умов напрям реакцій знаходиться у відповідності з відомими значеннями теплот утворення окисних сполук елементів, що входять в систему. Досліджено межу розділу "конденсат вольфраму-кремній <III>" та "конденсат вольфраму-карбід кремнію (6H-SiC)". Показано, що за температур 1173 К в цих областях існує чотири зони: 1/ поверхня та приповерхневий шар конденсату, збагачені в порівнянні з об'ємом плівки киснем та вуглецем; 2/ власне конденсат вольфраму; 3/ перехідний шар між конденсатом вольфраму та кремнієм або карбідом кремнію; 4/ підкладка. Відпал вольфраму на кремнії за температур 573 та 873 К призводить до розвитку дифузійних процесів, а за температури 1173 К до формування в перехідному шарі вольфрам-кремній силіцидів W_2Si_3 та WSi_2 . При відпалі вольфраму на карбіді кремнію розвиток дифузійних процесів стає помітним, починаючи з 1173 К. Формування силіцидних чи карбідних фаз в цьому випадку не має місця.

В четвертому розділі міститься опис даних, які були отримані за вивчення впливу умов конденсації на фазовий склад та на розподіл елементів в вакуумних конденсатах хрому, нікелю та сплавів нікель-хром на кристалічних підкладках. Порівняльне дослідження вакуумних конденсатів хрому та ніхрому, отриманих за допомогою резистивного, електронно-променевого та термоіонного методів нанесення показало, що найбільш стабільні властивості мають плівки, нанесені термоіонним методом наплення. Вакуумні конденсати хрому, отримані термоіонним методом, характеризуються наявністю текстур. Конденсати хрому та ніхрому, отримані термоіонним методом, стійкіші до окислення, ніж плівки, отримані електронно-променевим та резистивним методом. За термоіонного нанесення плівок хрому та ніхрому адгезія збільшується в 3-6 раз в порівнянні з резистивним методом нанесення.

стивним та електронно-променевим нанесенням. Встановлено, що швидкості хімічного травлення конденсатів хрому та ніхрому істотно залежать від ступеню окислення, який визначається фізико-технологічними параметрами процесу нанесення. Встановлено, діапазон припустимих значень параметрів термоіонного нанесення, за яких формуються конденсати хрому та ніхрому з об'ємним опором, близьким до опору масивного матеріалу; для використаної в роботі конструкції пристрою, що напилос $T_{\text{під}}=470-770 \text{ K}$ та $\text{Изм} = (-1) - (-3) \text{ кВ}$. Зі збільшенням товщини конденсату, швидкості нанесення, густини іонного струму та з покращенням вакууму критичні значення $T_{\text{під}}$ та Изм зменшуються. Досліджено конденсати технічного ніхрому $/X20H80/$ з використанням резистивного, електронно-променевого та термоіонного методів. Найбільш досконала структура конденсатів ніхрому отримується з використанням термоіонного напilenня. Двошарові конденсати, отримані термоіонним методом значно стійкіші, ніж такі конденсати, отримані резистивним чи електронно-променевим нанесенням. На основі даних електронографічного та рентгеноструктурного досліджень та результатів, отриманих методом мас-спектрометрії вторинних іонів, встановлено, що при напilenні двошарових конденсатів ніхром-алюміній на підкладках з температурою $293-573 \text{ K}$ проходить формування як кристалічних, так і квазіаморфних фаз, причому конденсати ніхрому мають складний фазовий склад. Показано, що нагрів до 620 K двошарових конденсатів ніхром-алюміній призводить до перетворення квазіаморфних фаз в кристалічні та до підвищення ступеню досконалості кристалічної структури конденсатів. Помітний розвиток процес окислення алюмінію отримує, починаючи з температури 850 K . Досліджено елементний склад та хімічний стан плівок хрому, отриманих електронно-променевим напilenням. Встановлено характер розподілу концентрацій кисню, вуглецю та азоту на поверхні та в об'ємі плівки. Максимальна концентрація кисню та вуглецю спостерігалась на поверхні конденсату. В приповерхневому шарі кон-

концентрація кисню та вуглецю зменшується в порівнянні з концентрацією на поверхні. Відпал зменшує концентрацію хрому на поверхні плівки. Концентрація азоту на поверхні та в об'ємі конденсату, як після нанесення, так і після відпалу, залишається незмінною. Вуглець на поверхні плівки та по всьому об'єму має графітну форму. Досліджена межа розділу плівка хрому на монокристалі кремнію <III> та плівка хрому на монокристалі карбиду кремнію (6H-SiC). Показано, що безпосередньо після напilenня та за температури відпалу 653 K в умовах промислового вакууму існує чотири області: поверхня та приповерхневий шар плівки, збагачений киснем та вуглецем; конденсат хрому; перехідний шар між конденсатом хрому та кремнієм, або карбідом кремнію та підкладка. Відпал за температури 653 K призводить до взаємної дифузії кремнію та хрому; відпал системи хром-кремній за температур вищих 653 K призводить до посилення дифузійних процесів та до формування перехідного шару, який складається із суміші силіцидів хрому $CrSi_2$ та Cr_2Si_3 ; відпал системи хром-карбід кремнію за температур 1073 K приводить до формування перехідного шару, який складається із суміші силіцидів $CrSi_2$ та Cr_2Si_3 . За цих умов утворення карбідів хрому не спостерігається. Дифузійні процеси та процеси силіцидоутворення протікають в системі хром-кремній більш інтенсивно та при більш низьких температурах, ніж в системі хром-карбід кремнію. Досліджено елементний склад та хімічний стан меж розділу плівка нікелю на монокристалі кремнію <III> та плівка нікелю на монокристалі карбиду кремнію (6H-SiC). Показано, що безпосередньо після напilenня та відпалу за температури 653 K існують чотири області: поверхня та приповерхневий шар плівки, збагачені киснем та вуглецем; конденсат нікелю; перехідний шар між конденсатом нікелю та кремнієм або карбідом кремнію та підкладка. Відпал в умовах промислового вакууму за температури 750 K призводить до взаємної дифузії кремнію, вуглецю та нікелю; відпал системи нікель-кремній за температур вищих

750 К призводить до посилення дифузійних процесів та до формування перехідного шару, який складається із суміші силіцидів нікелю Ni_2Si та Ni_3Si_2 . Відпал системи нікель-карбід кремнію за температур вищих ніж 873 К призводить до формування перехідного шару із суміші силіцидів нікелю Ni_2Si та Ni_3Si_2 . За цих умов карбіди нікелю не були виявлені. Дифузійні процеси та процеси силіцидоутворення в системі нікель-кремній протікають інтенсивніше та за більш низьких температур, ніж в системі нікель-карбід кремнію.

В п'ятому розділі описано результати зрівнювальних досліджень зонної структури V, Cr, Ni, Mo та W , електронної структури окислів V, Cr, Ni, Mo та W , а також електронної структури карбідів та силіцидів в тонких плівках на основі V, Cr, Ni, Mo та W . Ці результати дозволили з'ясувати деякі із експериментально встановлених в роботі закономірностей розподілу елементів за фазами та станами в вивчених вакуумних конденсатах. Порівняння зонної структури окислів V, Cr, Ni, Mo та W , отриманої в наших розрахунках показують, що в цьому ряду зростає зсув $3d(4d)$ -орбіталів в високоенергетичну область, що вказує на збільшення хімічного зв'язку у даному ряді та корелює з оже-спектрами отриманих нами для різних окисних плівок розглянутих перехідних металів V, Cr, Ni, Mo та W . Розподіл електронної густини у вказаних окислах, отриманий в квантово-хімічних розрахунках показує, що VO -іонна сполука є найбільш сильний діелектрик. Навпаки, NiO, MoO та WO - ковалентна сполука з напівпровідниковими властивостями. Цей результат підтверджується нашими експериментальними дослідженнями провідності окисних плівок за різних температур. Відносна зміна розщеплення d -орбіталей в кристалічному полі лігандів / атомів кисню / ΔE_{p3d} та величини обмінного розщеплення ΔE_{ex} для розглянутого ряду окислів $MeO / Me = V, Cr, Ni, Mo$ та W вказує на реалізацію високоспінового стану d -іонів

/ $\Delta E_{\text{рез}} \approx \Delta E_{\text{окс}}$ /, що підтверджується аналізом оже-спектрів, отриманих для окисних плівок перехідних металів. Порівняння енергій зв'язку ΔE_{3d} (Me-O) вказує на їх зростання для даного ряду металів, що узгоджується з нашими експериментальними даними відносно зміни концентрації кисню в плівках з підвищенням температури. Ванадій найлегше віддає кисень, а вольфрам сильніше усього утримує кисень, формуючи стійкі окисні плівки. Для карбідів розглянутого ряду металів V , Cr , Ni , Mo та W спостерігається зростання донорно-акцепторної взаємодії за рахунок інтенсивного залучення до взаємодії $3-d$ та $4-d$ орбіталей, що призводить до збільшення енергії зв'язку за рахунок значної обмінної взаємодії, це супроводжується сильним переносом електронної густини з ліганду на метал. На відміну від карбідів комплекси силіцидів ряду металів V , Cr , Ni , Mo та W істотно залежать від розташування молекулярних $3d$ та $4d$ -орбіталей металів. $3d$ -орбіталі розташовані за енергією досить близько до $2p$ -орбіталей, відповідальних за донорно-акцепторну взаємодію, у зв'язку з чим і спостерігається більш стійкі зв'язки з $4d$ -орбіталями Mo та W , які за енергією знаходяться набагато вище, ніж $2p$ -орбіталі кремнію.

ЗАГАЛЬНІ ВИСНОВКИ.

I. Досліджено елементний склад та хімічний стан атомів тугоплавких металів в плівках вольфраму, молібдену, хрому, ванадію та ніхрому, отриманих резистивним, електронно-променевим, термоіонним та магнетронним методами нанесення. Встановлено характер розподілу кисню, вуглецю та азоту на поверхні, в приповерхневому шарі, в об'ємі плівки та в перехідному шарі плівка-підкладка. Максимальна концентрація вуглецю та кисню спостерігається на поверхні конденсатів металів. В залежності від природи металу, складу залишкових газів та температури підкладки можливе формування окисних та карбідних

фаз на поверхні, в об'ємі та в перехідному шарі метал-підкладка. Встановлено, що в вакуумних конденсатах металів існує "верхній перехідний" шар /або приповерхневий шар/, що відокремлює поверхню плівки від власне об'єму нанесеного металу. В приповерхневому шарі концентрація кисню та вуглецю значно зменшується в порівнянні з концентрацією на поверхні плівок металів. Концентрація азоту на поверхні та в об'ємі плівки, як після нанесення, так і після відпалів залишається незмінною.

2. Зрівнювальне дослідження конденсатів хрому, молибдену, вольфраму, ванадію та ніхрому, одержаних термоіонним, електронно-променевим, резистивним та магнетронним методами нанесення, показало, що для конденсатів, нанесених термоіонним методом напилення, характерними є наступні особливості їх властивостей: адгезія збільшується в 3-6 раз в порівнянні з адгезією плівок, отриманих іншими методами нанесення; підвищення температури підкладки призводить до підсилення текстури; конденсати усіх досліджуваних металів, отриманих термоіонним методом, мають найбільш стабільні властивості; плівки вольфраму, молибдену, хрому та ніхрому стійкі проти карбідоутворення; термоіонні конденсати хрому, ніхрому та молибдену характеризуються більшою швидкістю хімічного травлення, ніж конденсати, отримані іншими методами нанесення; концентрація кисню та вуглецю менше в термоіонних конденсатах в порівнянні з конденсатами, які отримують іншими методами.

3. Встановлено, що при магнетронно-реактивному розпиленні, механізм формування різних модифікацій окислів ванадію визначається різним вмістом кисню в кисне-аргонних сумішах. Показана можливість керування процесом отримання окисних шарів ванадію різних модифікацій зміною температурно-концентраційних умов в процесі магнетронно-реактивного розпилення ванадію.

4. Встановлено діапазон припустимих значень параметрів напилення, за яких формуються конденсати молибдену, хрому,

ніхрому, вольфраму та ванадію з об'ємним опором, близьким до опору масивного матеріалу для даної конструкції напилюючого пристрою: $T_{\text{під}}=470-770 \text{ K}$ та $I_{\text{зм}}=(-1)-(-3) \text{ кВ}$. Зі збільшенням товщини плівки, швидкості напилення, густини іонного струму та з поліпшенням вакууму критичні значення $T_{\text{під}}$ та $I_{\text{зм}}$ зменшуються.

5. Встановлено, що в якості критерію для визначення ступеню окислення ванадію можливо використовувати відношення інтенсивностей оже-піків $R = I_{\text{LMM}} / I_{\text{LM}}$, які змінюються при окисленні. Для ванадію $R < 1$, а для окисленого ванадію $R > 1$. Для плівок вольфраму аналогічна залежність виявляється в тому, що зі збільшенням концентрації кисню зростає амплітуда оже-піку вольфраму з енергією 163 еВ та зменшується амплітуда оже-піку з енергією 169 еВ; зменшується відношення амплітуди оже-піків $I_{\text{W}}(163) / I_{\text{O}}(510)$ та $I_{\text{W}}(169) / I_{\text{O}}(510)$.

6. Встановлено, що за відпалу конденсатів металів, отриманих термоіонним, резистивним, електронно-променевим та магнетронним методами напилення в умовах промислового вакууму, відбуваються окисно-відновлювальні реакції; при цьому напрямки реакцій знаходиться у згоді з відомими значеннями теплот утворення окисних сполук елементів, що входять в систему.

7. Експериментально виявлені закономірності формування характерних областей в системах конденсат. металу V, Cr, Ni, Mo та W -монокристал кремнію. Показано, що після відпалів за температур 653 K в системі конденсат металу-монокристал кремнію існує чотири зони: 1/ поверхня та приповерхневий шар конденсату, збагачені в порівнянні з об'ємом плівки киснем та вуглецем; 2/ власне конденсат металу; 3/ перехідний шар між конденсатом металу та кремнієм; 4/ монокристалічна підкладка (S_1). Встановлено, що в залежності від природи металу, складу залишкових газів та температури відпалу можливий розвиток дифузійних процесів, формування силіцидних та окисних фаз. В системі молібден-кремній за температури відпалу 673 K відбувається розвиток дифузійних процесів. В системі хром-

кремній дифузійні процеси проходять з помітною швидкістю за температури відпаду 653 К, формування силіцидів хрому спостерігається за температур відпаду вищих 653 К. В системі вольфрам-кремній розвиток дифузійних процесів приводить до формування твердих розчинів, що рееструються при температурах відпаду 873 К; за температур відпаду 1173 К відбувається формування силіцидів вольфраму. В системі нікель-кремній взаємна дифузія відбувається за температури відпаду 653 К; за температури відпаду 750 К має місце формування силіцидів нікелю.

8. Зперше експериментально встановлено закономірності формування характерних областей в системах конденсат металу V, Cr, Ni, Mo та W -монокристал карбїду кремнію (6H-SiC). Показано, що як і в випадку з підкладкою з монокристалічного кремнію, після відпаду при температурі 673 К в системі плівка металу-монокристал карбїду кремнію існує чотири зони: 1/ поверхня та приповерхневий шар, збагачені в порівнянні з об'ємом плівки киснем та вуглецем; 2/ власне плівка металу; 3/ перехідний шар між плівкою металу та карбїдом кремнію; 4/ монокристалічна підкладка (6H-SiC). Встановлено, що в залежності від природи металу, складу залишкових газів та температури відпаду можливий розвиток дифузійних процесів, формування силіцидних, карбїдних та окисних фаз. В системі ванадій-карбїд кремнію за температури відпаду 1073 К проходить інтенсивний розвиток дифузійних процесів. В системі ванадій-карбїд кремнію за температури відпаду 1273 К відбувається взаємна дифузія вуглецю, кремнію та ванадію; за температури відпаду 1473 К відбувається формування силіцидів ванадію. В системі вольфрам-карбїд кремнію за температур відпаду 1173 К відбувається дифузійні процеси. В системі хром-карбїд кремнію при температурі відпаду 873 К відбуваються дифузійні процеси; при температурі відпаду 1073 К відбувається формування силіцидів хрому. В системі нікель-карбїд кремнію за температури відпаду 750 К відбуваються

дифузійні процеси; за температури відпаалу 873 К спостерігається формування силіцидів нікелю. Встановлено, що дифузійні процеси та процеси силіцидоутворення в системі метал (V, Cr, Ni, Mo та W) –монокристалічний карбід кремнію відбуваються за температур більш високих, ніж в системі метал-монокристалічний кремній. Таким чином, в системі метал-монокристалічний карбід кремнію, дифузійні процеси в твердому розчині розвиваються, починаючи з температури 673 К; процеси силіцидоутворення протікають в інтервалі більш високих температур; карбідоутворення не має місця.

9. В зв'язку з необхідністю інтерпретації результатів, отриманих за дослідження розподілу елементів за базами та станами в системі "конденсована металева плівка кристалічна підкладка", був виконаний аналіз можливих причин зміни концентрації кисню за відпаалу; аналіз було проведено на основі напівемпіричного методу кластерного розрахунку, модифікованого з частковим нехтуванням диференціальним перекриттям. Для рішення цієї задачі було проведено розрахунок зонної структури окислів (V, Cr, Ni, Mo та W); виявлений у цьому ряду зсув $3d(4d)$ -орбіталей в високоенергетичну область вказує на посилення хімічного зв'язку в сполуках даного ряду. Знайдений розподіл електронної густини дозволяє пояснити характер електрофізичних властивостей досліджених окислів. Особливості ожє-спектрів, отриманих для плівок перехідних металів, обумовлені реалізацією високоцінового стану d -іонів ($\Delta E_{розш} \approx \Delta E_{сд}$), що виявляється в відносному розщепленні d -орбіталей в кристалічному полі лігандів та у величині обмінного розщеплення для розглянутого ряду окислів. Зміна концентрації кисню в плівках за підвищення температури вакуумного відпаалу зумовлена зміною енергії зв'язку в ряду V, Cr, Ni, Mo та W .

10. На основі досліджень елементного складу, хімічного стану та фізичних властивостей моно- та біметалевих

вакуумних конденсатів та межі розділу метал-напівпровідник були розроблені технології отримання та термічної обробки металевих електродів інтегральних матриць сегнето"єзоелектричних запам'ятовуючих елементів багатократнопрограмуємих сталих та напівсталих запам'ятовуючих пристроїв на основі двошарових композицій ванадій-алюміній та ніхром-алюміній; двошарових конденсатів термоіонного хрому-нікелю для серійного виробництва датчиків тиску /сили вибухової хвилі/; двошарових конденсатів хром-тігель і тантал-нікель для датчиків швидкості повітряних та рідинних струменів; чутливих елементів датчиків та болометричних пристроїв на основі конденсатів ніхрому; конденсатів молибдену, отриманих термоіонним напыленням для металевих електродів твердотільних матриць на кремнії; шарів окислів ванадію VO_2 та V_2O_5 методом реактивного магнетронного розпилення ванадію в киснево-аргонних сумішах на різних підкладках; металевих електродів світлодіодів на основі карбіду кремнію (6H-SiC).

Основні твердження дисертації опубліковані в наступних роботах:

1. Белевский В.П., Герман Л.П., Костин Е.Г., Сидоренко С.И. Коррозионная стойкость металлических пленок, полученных термоионным методом // Электронная техника. Сер. Материалы. - 1977. - Вып. 5/84/. - С.92-94.
2. Герман Л.П., Сидоренко С.И., Сердюкова Н.В. Исследование влияния термической обработки на свойства двухслойных металлических пленок // Электронная техника. Сер. Материалы. - 1977. - Вып. 5/84/. - С.48-56.
3. Герман Л.П., Костин Е.Г., Сидоренко С.И. Коррозионная стойкость тонких металлических пленок // Получение и свойства тонких металлических пленок // Киев: ИГи АН УССР, 1977. - С.70-77.

4. Гермаш Л.П., Кит В.И., Мартынюк А.В. и др. Особенности металлизации керамики ЦТС-19 // Тонкие пленки в производстве полупроводниковых приборов и интегральных схем. - Тбилиси: ТГУ, 1981. - 284 с.

5. Белоус М.В., Гермаш Л.П., Сидоренко С.И. Термообработка пленок нихрома, полученных термоионным методом // Тонкие пленки в производстве полупроводниковых приборов и интегральных схем. - Тбилиси: ТГУ, 1981. - 284 с.

6. Гермаш Л.П. Нанесение металлических пленок на сегнетопьезокерамику // Получение и свойства тонких пленок. - Киев: ИИМ АН УССР, 1981. - С.83-86.

7. Белгус М.В., Гермаш Л.П., Макогон Ю.Н., Сидоренко С.И. Исследование влияния термической обработки на свойства молибденовых пленок, полученных термоионным методом // Получение и свойства тонких пленок. - Киев: ИИМ АН УССР, 1981. - С.87-90.

8. Белевский В.П., Гермаш Л.П., Сидоренко С.И. Получение чистых пленок хрома методом "геттерного" осаждения // Электронная техника. Сер. Материалы. - 1982. - Вып. 2. - С.18-19.

9. Белоус М.В., Гермаш Л.П., Сидоренко С.И. Датчик-измеритель истинной скорости воздушных и жидкостных потоков // Приборостроение. - Киев: Издательство "Техника", 1984. - Вып. 36. - С.3-5.

10. Белоус М.В., Гермаш Л.П. Усовершенствованная технология изготовления ИС на сегнетопьезокерамике // Актуальные проблемы радиофизики. - Киев: КГУ, 1985. - 145 с.

11. Белоус М.В., Гермаш Л.П., Некрасова И.М., Сидоренко С.И. Двухслойная композиция для получения высоконадежных межсоединений в интегральных схемах // диэлектрики и полупроводники. - 1986. - Вып. 29. - С.67-69.

12. Гермаш Л.П., Бугаенко Л.П., Сидоренко С.И. и др. Действие микроскопических грибов на вакуумные конденсаты металлов // Изв. АН СССР. Защита металлов. - 1986. - Вып. 5. - С.792-794.

13. Герман Л.П., Некрасова И.М., Сидоренко С.И., Сердюкова Н.В. Влияние термической обработки на двухслойные металлические композиции // Диэлектрики и полупроводники. - 1986. - Вып. 29. - С.21-24.

14. Белоус М.В., Герман Л.П., Некрасова И.М., Сидоренко С.И. Структура, фазовый состав и свойства конденсатов нихрома, полученных различными методами // Изв. АН СССР. Неорганические материалы. - 1987. - Вып. 9. - С.104-108.

15. Белоус М.В., Герман Л.П., Некрасова И.М., Сидоренко С.И. Структура и концентрационные неоднородности в вакуумных конденсатах молибдена // Изв. АН СССР. Неорганические материалы. - 1987. - Вып. 9. - С.56-62.

16. Белоус М.В., Герман Л.П., Киселев В.С., Алтайский Ю.М. Тонкие пленки никеля и титана на поверхности монокристалла карбида кремния // Электронные свойства границ зерен в металлах и полупроводниках. - Воронеж: ВГУ, - 1987. - 155 с.

17. Белоус М.В., Герман Л.П., Сидоренко С.И., Крат Л.Н. Исследование процессов формирования оксидов на поверхности конденсатов вольфрама // Электронное строение и свойства оксидов, фторидов и халькогенидов. - Одесса: ОГУ, 1987. - 95 с.

18. Белоус М.В., Герман Л.П., Сидоренко С.И. Фазообразование в тонкопленочных системах ПЦ металлов с тугоплавкими металлами // Современные методы физико-химического анализа новых материалов для микроэлектроники на основе металлических систем и тугоплавких соединений. - Одесса-Киев: ИИМ АН УССР, 1987. - 120 с.

19. Белоус М.В., Герман Л.П., Якубов О.А. Оксидообразование в тонких пленках вольфрама, полученных вакуумными методами осаждения // Новые материалы для микроэлектроники. - Киев: ИИМ АН УССР, 1988. - С.56-59.

20. Гермаш Л.П., Богданова А.Ф., Кузнецов М.А. и др. Особенности отжига дефектов структуры в конденсатах молибдена // Диэлектрики и полупроводники. - 1986. - Вып. 34. - С.101-105.

21. Гермаш Л.П., Крутько А.А., Сидоренко С.И. Твердофазные реакции в двухслойных тонких пленках $V-A\ell$ и $Ti-A\ell$ // Диагностика поверхности ионными пучками. - Донецк: ДГУ, 1988. - 154 с.

22. Белоус М.В., Гермаш Л.П., Вернигора Л.А., Якубцов О.А. Исследование вакуумных конденсатов ванадия методами оже-электронной и вторичной ионной масс-спектрометрии // Новые материалы и новые технологические процессы в микроэлектронике. - Киев: ИШМ АН УССР, 1989. - С.23-29.

23. Гермаш Л.П., Крутько А.А., Сидоренко С.И. и др. Пьезоэлектрический датчик с металлическими электродами // Диэлектрики и полупроводники. - 1989. - Вып. 35. - С.21-26.

24. Белоус М.В., Гермаш Л.П., Крутько А.А. Анализ состава конденсатов ванадия, полученных методами вакуумного осаждения // Диагностика п. поверхности ионными пучками. - М.: МАИ, 1990. - 280 с.

25. Белоус М.В., Гермаш Л.П., Крутько А.А., Якубцов О.А. Изучение тонких слоев ванадия методами оже-электронной спектроскопии и вторичной ионной масс-спектрометрии // Диэлектрики и полупроводники. - 1990. - Вып. 37. - С.87-90.

26. Белоус М.В., Гермаш Л.П., Крутько А.А., Якубцов О.А. Взаимодействие конденсатов ванадия с остаточной атмосферой при вакуумном напылении // Изв. АН СССР. Металлы. - 1990. - Т.39. - №4. - С.38-39.

27. Белоус М.В., Гермаш Л.П., Крутько А.А., Якубцов О.А. Концентрационные неоднородности в конденсатах вольфрама, полученных электронно-лучевым и магнетронным методами осаждения // Диэлектрики и полупроводники. - 1990. - Вып. 38. - С.71-74.

28. Белоус М.В., Герман Л.П., Крутько А.А., Сава В.И. Формирование пленок вольфрама и исследование их методами оже-спектроскопии и масс-спектрометрии // Физика низкотемпературной плазмы: Материалы VIII Всесоюзной конф. - Минск: МРИ, 1991. - С.122-123.

29. Белоус М.В., Герман Л.П., Крутько А.А., Якубов О.А. Оксидообразование и перераспределение кислорода между фазами в тонких пленках вольфрама // Изв. АН СССР. Металлы. - 1991. - Вып. 5. - С.185-186.

30. Белоус М.В., Герман Л.П., Котенко И.Е., Сидоренко С.И. Оксидообразование в конденсатах хрома при повышенных температурах // Изв. АН СССР. Металлы. - 1992. - №1. - С.69-70.

31. Belous M.V., Germash L.P., Molchanovskii M.A. Auger spectroscopy study of thin vanadium films deposited on the SiO singlecrystal // Tenth Symposium Record of Alloy Semiconductor Physics and Electronics (ASPEC-10) / Japan. - 1991, - N11-15, - P.321-328.

32. Belous M.V., Germash L.P., Krootko A.A et all. AUGER and SIMS analysis of vacuum condensates of tungsten obtained by different methods of condensation // Proceedings of 4th European Conference on Applications of Surface and Interface Analysis (EOASIA 91) / Budapest, - 1991, - NTC-57/P, - P.304.

33. Герман Л.П., Самофалов К.Г., Мартынюк Я.В. и др. Запоминающая матрица // А.с. №2667055. Заявлено 26.09.78.

34. Герман Л.П., Самофалов К.Г., Мартынюк Я.В. и др. Запоминающая матрица // А.с. №2794475. Заявлено 10.07.79.

35. Герман Л.П., Самофалов К.Г., Мартынюк Я.В. и др. Способ изготовления пьезоэлектрического элемента // Заявка №4693997/21/070960. Заявлено 22.05.89.

АВ 27.531

КПИ.04.03.93.Зак.204-100.